

МИНИСТЕРСТВО ОБРАЗОВАНИЯ И НАУКИ РФ

ФЕДЕРАЛЬНОЕ ГОСУДАРСТВЕННОЕ АВТОНОМНОЕ
ОБРАЗОВАТЕЛЬНОЕ УЧРЕЖДЕНИЕ ВЫСШЕГО ОБРАЗОВАНИЯ
“САНКТ-ПЕТЕРБУРГСКИЙ НАЦИОНАЛЬНЫЙ
ИССЛЕДОВАТЕЛЬСКИЙ УНИВЕРСИТЕТ
ИТМО”

ФАКУЛЬТЕТ СИСТЕМ УПРАВЛЕНИЯ И РОБОТОТЕХНИКИ

Лабораторная работа №2:
«Переходные процессы,
свободное движение, устойчивость»
по дисциплине Теория автоматического управления

Вариант №17

Выполнил: Студент группы
R33362 Осинина Т. С
Преподаватель: Перегудин А.А.

Задание №1. Свободное движение.

Дана система 2-го порядка, представленная в форме Вход-Выход

$$y'' + a_1 y' + a_0 y = u.$$

Самостоятельно придумайте семь наборов (λ_1, λ_2) корней характеристического уравнения, соответствующих:

1. двум устойчивым аperiodическим модам;
2. устойчивой и неустойчивой аperiodическим модам;
3. нейтральной и аperiodической модам;
4. нейтральной и линейной* модам;
5. паре консервативных мод;
6. паре устойчивых колебательных мод;
7. паре неустойчивых колебательных мод.

Вычислите коэффициенты a_1, a_0 системы и найдите аналитическое выражение для свободной составляющей её движения $y_{св}(t)$. В отчёте приведите все вычисления и полученные результаты. Проанализируйте устойчивость каждой из систем на основании корневого критерия, сделайте соответствующие выводы. Для каждой системы выберите ненулевые начальные условия $y(0)$ и $y'(0)$. Составьте схему для моделирования свободного движения и проведите моделирование сначала с нулевыми начальными условиями, а затем с выбранными ненулевыми. В отчёте приведите графики зависимостей $y(t)$ и $y'(t)$. Сделайте выводы.

Решение

$$\begin{aligned} y_{св}'' + a_1 y_{св}' + a_0 y_{св} &= 0 \\ \lambda^2 + a_1 \lambda + a_0 &= 0 \\ D &= a_1^2 - 4a_0 \\ \lambda_1, \lambda_2 &= \frac{-a_1 \pm \sqrt{a_1^2 - 4a_0}}{2} \end{aligned}$$

1. Сначала найдем коэффициенты двум устойчивыми аperiodическим модам. Подберем a_1, a_0 таким образом, чтобы $\lambda_1, \lambda_2 < 0$.

Так как это условие устойчивой аperiodической моды:

$$\frac{-a_1 \pm \sqrt{a_1^2 - 4a_0}}{2} < 0$$

Пусть $a_1=4, a_0=3$, тогда:

$$\lambda_1, \lambda_2 = \frac{-4 \pm \sqrt{16 - 12}}{2} = \frac{-4 \pm 2}{2} = -1, -3 \Rightarrow \lambda_1, \lambda_2 < 0$$

$$y(t) = C_1 e^{-t} + C_2 e^{-3t}$$

$$y(0) = C_1 e^0 + C_2 e^0$$

При нулевых условиях: $0 = C_1 + C_2 \Rightarrow C_1 = -1, C_2 = 1$

$$y(t) = -e^{-t} + e^{-3t}$$

При ненулевых условиях, пусть $y(0) = 3$

$$y(0) = C_1 + C_2 \Rightarrow 3 = 1 + 2$$

$$y(t) = e^{-t} + 2e^{-3t}$$

$$y'(0) = -1 - 6 = -7$$

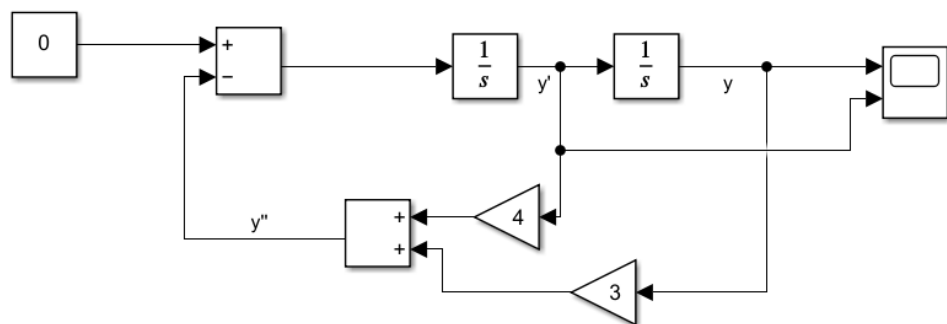


Рисунок 1. Схема моделирования для уравнения 1

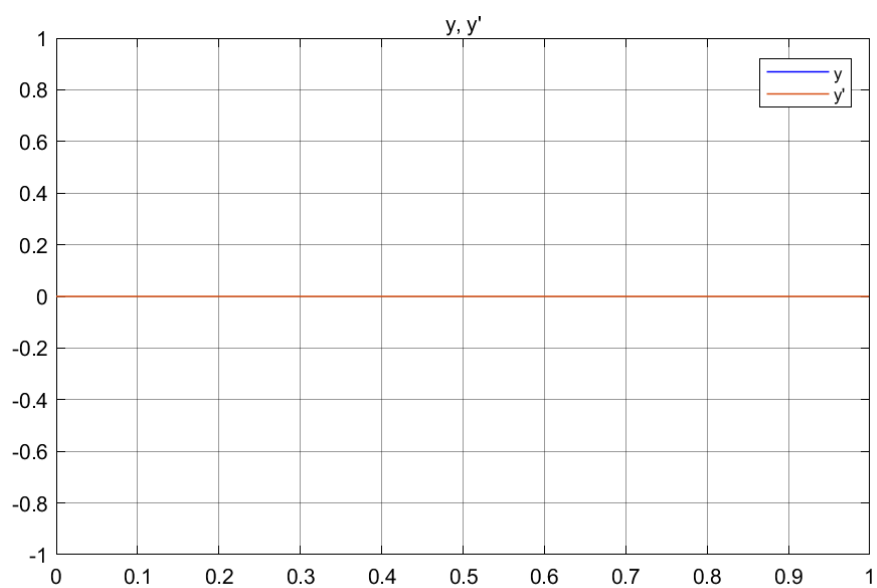


Рисунок 2. График зависимости $y(t)$, $y'(t)$ при нулевых условиях для набора 1

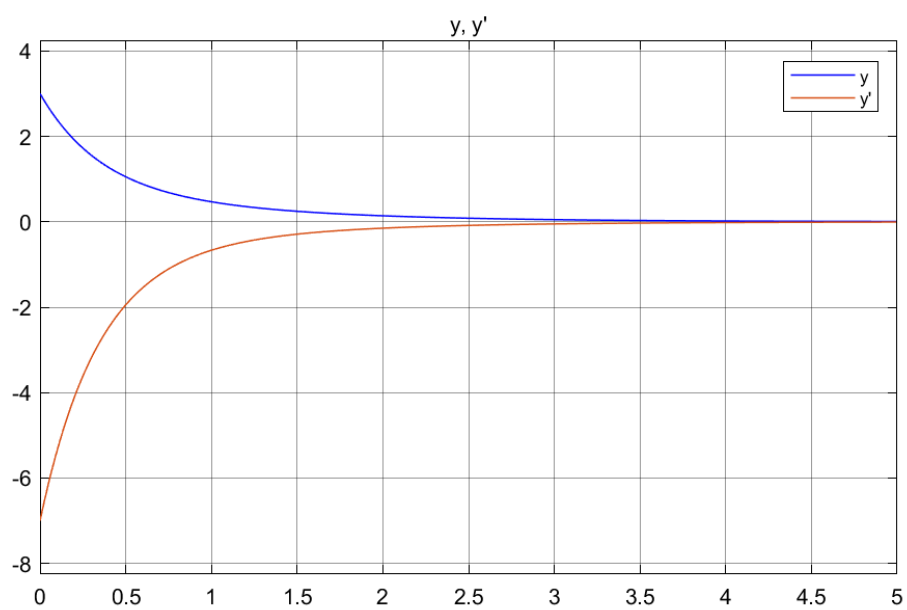


Рисунок 3. График зависимости $y(t)$, $y'(t)$ при ненулевых условиях для набора 1

2. Подберем коэффициенты устойчивой и неустойчивой аperiodическим модам. Корни уравнения должны соответствовать следующим условиям:

$$\begin{aligned}\lambda_1 &< 0, \lambda_2 > 0 \\ \frac{-a_1 - \sqrt{a_1^2 - 4a_0}}{2} &< 0 \\ \frac{-a_1 + \sqrt{a_1^2 - 4a_0}}{2} &> 0\end{aligned}$$

Пусть $a_1 = -4, a_0 = -5$, тогда:

$$\begin{aligned}\lambda_1 &= \frac{4 - \sqrt{16 + 20}}{2} = \frac{4 - 6}{2} = -1 < 0 \\ \lambda_2 &= \frac{-a_1 + \sqrt{a_1^2 - 4a_0}}{2} = \frac{4 + \sqrt{16 + 20}}{2} = \frac{4 + 6}{2} = 5 > 0\end{aligned}$$

$$y(t) = C_1 e^{-t} + C_2 e^{5t}$$

$$y(0) = C_1 e^0 + C_2 e^0$$

При нулевых условиях: $0 = C_1 + C_2 \Rightarrow C_1 = -1, C_2 = 1$

$$y(t) = -e^{-t} + e^{5t}$$

При ненулевых условиях, пусть $y(0) = 3$

$$y(0) = C_1 + C_2 \Rightarrow 3 = 1 + 2$$

$$y(t) = e^{-t} + 2e^{5t}$$

$$y'(0) = -1 + 10 = 9$$

Схема моделирования аналогична схеме на Рисунок 1. Схема моделирования для уравнения 1.

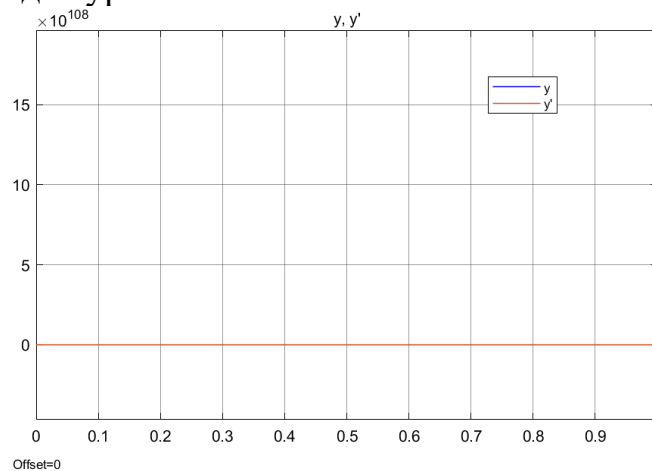


Рисунок 4. График зависимости $y(t), y'(t)$ при нулевых условиях для набора 2

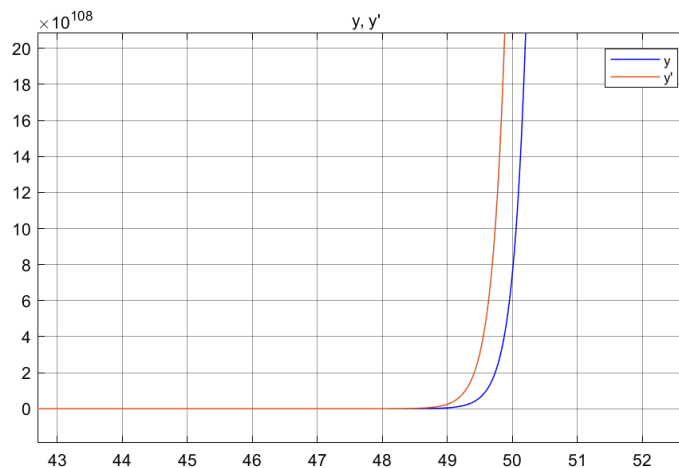


Рисунок 5. График зависимости $y(t), y'(t)$ при ненулевых условиях для набора 2

3. Далее найдем коэффициенты, корни системы которых будут соответствовать нейтральной и апериодической модам.

$$\lambda^2 + a_1\lambda + a_0 = 0$$

Условие нейтральной и апериодической мод:

$$\lambda_1 = 0, \lambda_2 < 0 \text{ или } \lambda_2 > 0$$

Пусть $a_1 = 1, a_0 = 0$, тогда:

$$\lambda^2 + a_1\lambda = 0$$

$$\lambda(\lambda + a_1) = 0$$

$$\lambda_1 = 0$$

$$\lambda_2 = -a_1 = -1 < 0$$

В этом случае получили корни, которые соответствуют нейтральной и устойчивой апериодической модам.

$$y(t) = 1 + C_1 e^{-t}$$

$$y(0) = 1 + C_1 e^0$$

При нулевых условиях: $0 = C_1 + 1 \Rightarrow C_1 = -1$

$$y(t) = 1 - e^{-t}$$

При ненулевых условиях, пусть $y(0) = -2$

$$y(0) = C_1 + C_2 \Rightarrow -2 = 1 - 3 \Rightarrow C_1 = 1, C_2 = -3$$

$$y'(0) = 0 + 3 = 3$$

$$y(t) = 1 - 3e^{-t}$$

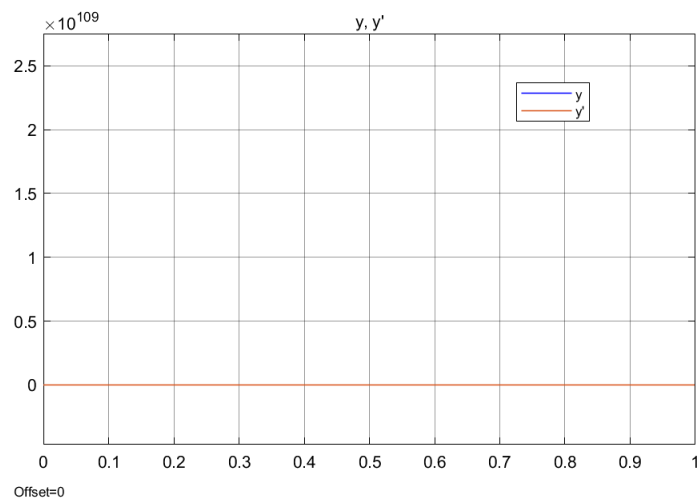


Рисунок 6. График зависимости $y(t)$, $y'(t)$ при нулевых условиях для набора 3

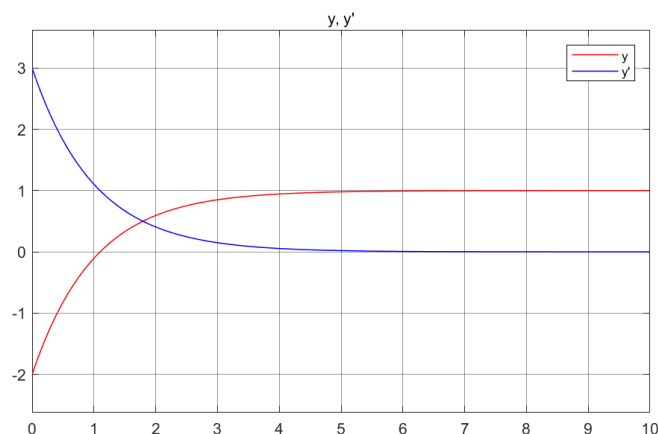


Рисунок 7. График зависимости $y(t)$, $y'(t)$ при ненулевых условиях для набора 3

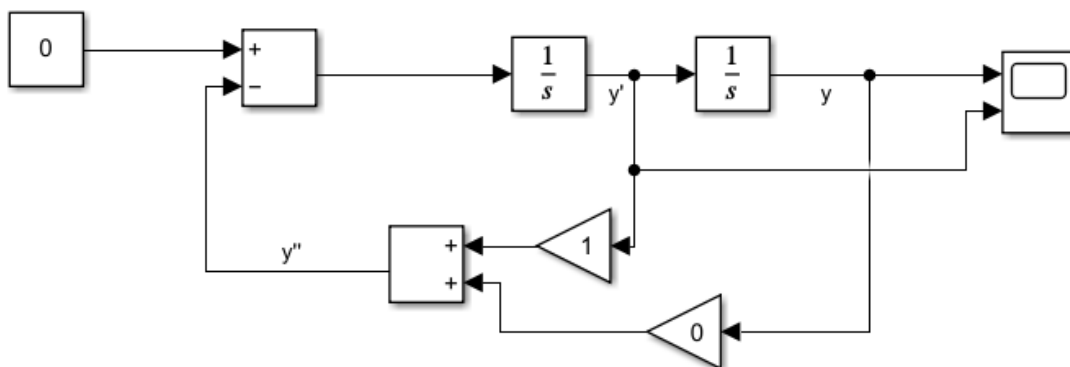


Рисунок 8. Схема моделирования для набора 3

4. Подберем коэффициенты нейтральной и линейной мод. Под «линейной» модой понимают моду, пропорциональную времени t . Так как я думаю, пример линейной моды – при рассмотрении уравнения движения простого тела через координату $x'' = \frac{1}{m}F \Rightarrow x''_{\text{св}} = 0 \Rightarrow \lambda^2 = 0$, то корни уравнения должны соответствовать данному условию:

$$\lambda_1 = \lambda_2 = 0$$

Это условие выполняется, когда $a_1 = 0, a_0 = 0$:

$$\lambda^2 = 0$$

$$y(t) = C_1 + C_2 t$$

При нулевых условиях: $0 = 0 + 0 \Rightarrow C_1 = 0$, пусть $C_2 = 2$

$$y(t) = 2t$$

При ненулевых условиях, $y(0) = 1$

$$y(0) = 1 + 0 \Rightarrow C_1 = 1 \text{ пусть } C_2 = 2$$

$$y'(0) = 0 + 2 = 2$$

$$y(t) = 1 + 2t$$

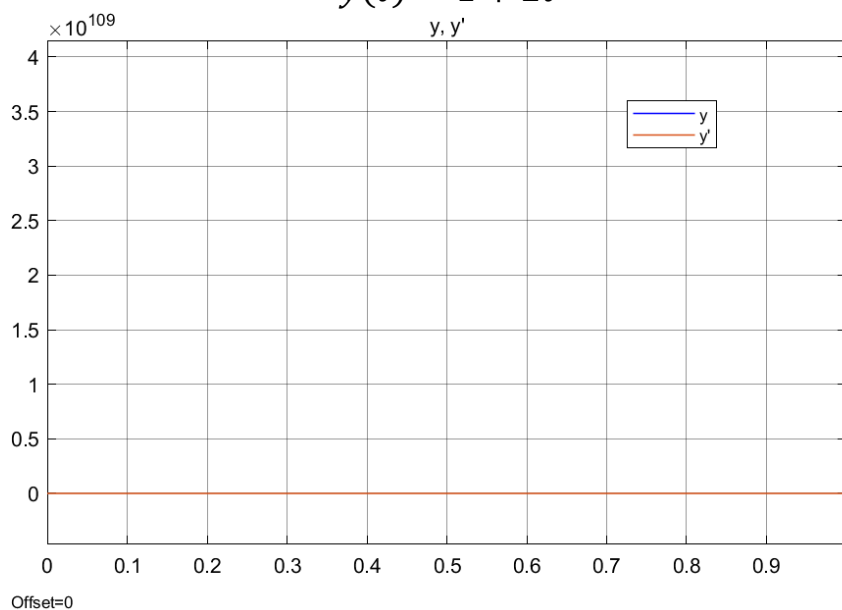


Рисунок 9. График зависимости $y(t)$, $y'(t)$ при нулевых условиях для набора 4

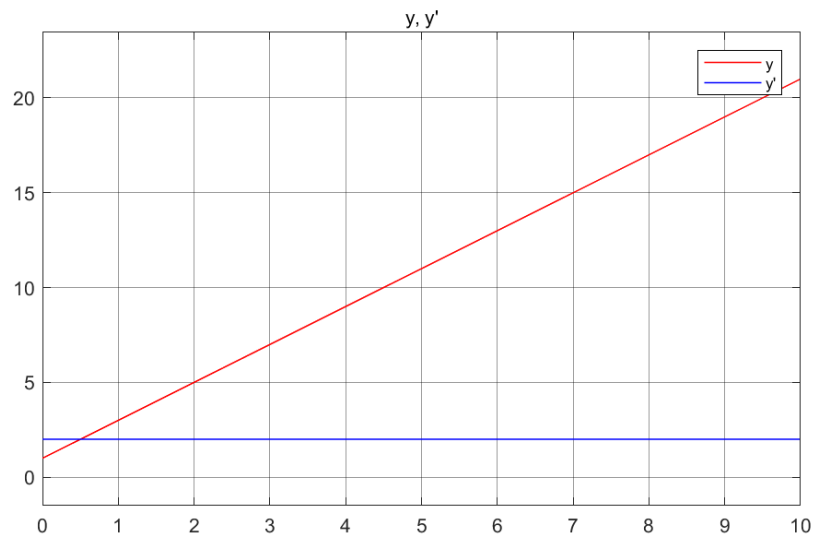


Рисунок 10. График зависимости $y(t)$, $y'(t)$ при ненулевых условиях для набора 4

5. Далее рассмотрим вариант пары консервативных мод, корни должны соответствовать следующим условиям:

$$\lambda_{1,2} = \pm \beta i$$

Пусть $a_1=0$, $a_0=4$:

$$\lambda^2 + a_1\lambda + a_0 = 0$$

$$\lambda^2 + a_0 = 0$$

$$\lambda^2 = -a_0$$

$$\lambda_{1,2} = \pm \sqrt{a_0}i = \pm 2i$$

$$y(t) = C_1 \cdot \sin(2t) + C_2 \cdot \cos(2t)$$

При нулевых условиях: $0 = 0 + C_2 \Rightarrow C_2 = 0$, пусть $C_1 = 3$

$$y(t) = 3 \cdot \sin(2t)$$

При ненулевых условиях, пусть $y(0) = 3$

$$y(0) = 1 \cdot \sin(2t) + 3 \cdot \cos(2t) \Rightarrow 3 = 0 + 3 \Rightarrow C_1 = 1, C_2 = 3$$

$$y'(0) = 2\cos(2t) - 6 \cdot \sin(2t) = 2$$

$$y(t) = \sin(2t) + 3 \cdot \cos(2t)$$

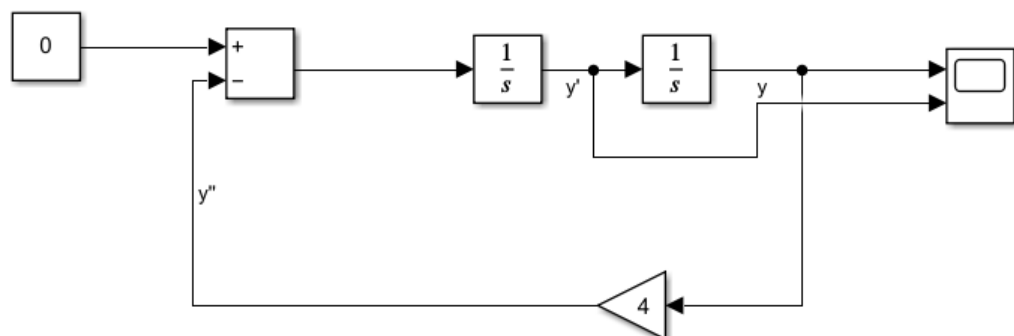


Рисунок 11. Схема моделирования уравнения 5

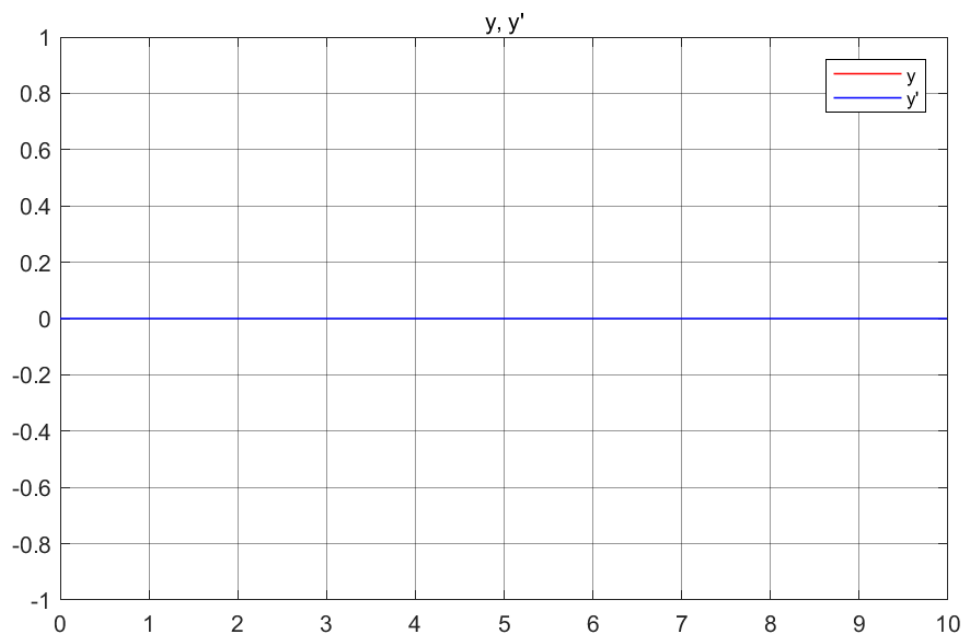


Рисунок 12. График зависимости $y(t)$ при нулевых условиях для набора 5

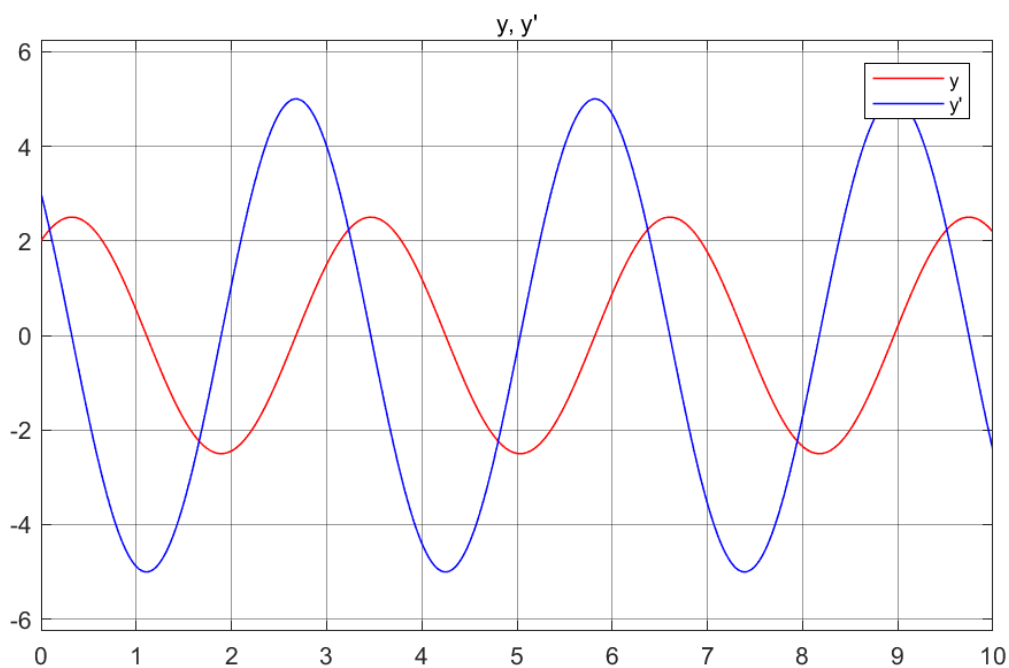


Рисунок 13. График зависимости $y'(t)$ при ненулевых условиях для набора 5

6. Найдем коэффициенты, корни системы которых будут соответствовать паре устойчивых колебательных мод;

$$\lambda_{1,2} = a \pm \beta i, a < 0$$

Пусть $a_1=2$, $a_0=2$:

$$\lambda_{1,2} = \frac{-2 \pm \sqrt{4-8}}{2} = \frac{-2 \pm \sqrt{-4}}{2} = \frac{-2 \pm 2i}{2} = -1 \pm 1i$$

$$y(t) = C_1 e^{-t} \cdot \sin(t) + C_2 e^{-t} \cdot \cos(t)$$

При нулевых условиях: $0 = 0 + C_2 \Rightarrow C_2 = 0$, пусть $C_1 = 3$

$$y(t) = 3e^{-t} \cdot \sin(t)$$

При ненулевых условиях, пусть $y(0) = 3$

$$y(0) = 1 \cdot e^{-t} \sin(t) + 3 \cdot e^{-t} \cos(t) \Rightarrow 3 = 0 + 3 \Rightarrow C_1 = 1, C_2 = 3$$

$$y'(0) = 1 \cdot e^{-t} \sin(t) + 3 \cdot e^{-t} \cos(t)$$

$$y'(0) = (-4) \cdot e^{-t} \sin(t) - 2e^{-t} \cdot \cos(t) = -2$$

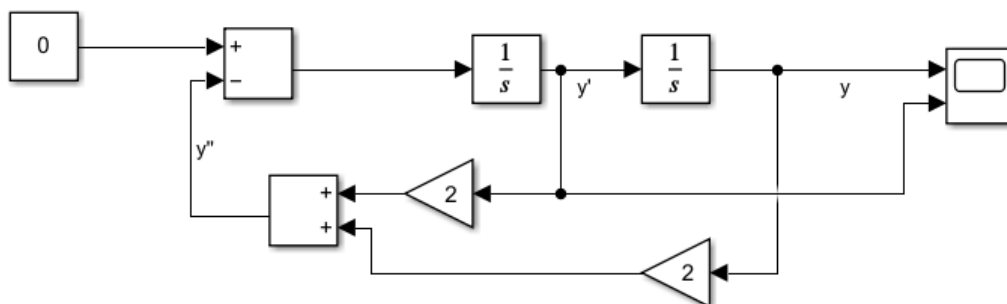


Рисунок 14. Схема моделирования уравнения 6

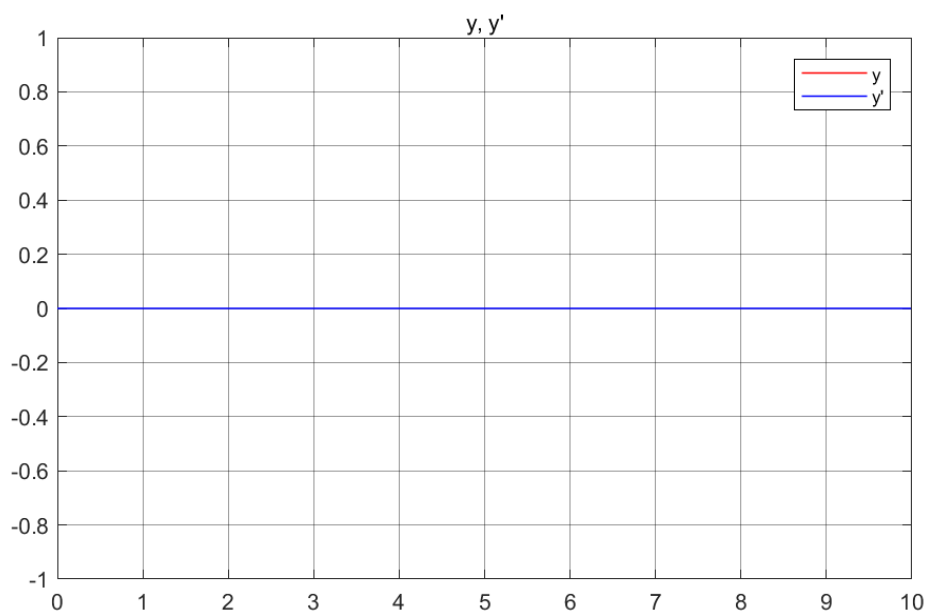


Рисунок 15. График зависимости $y(t)$, $y'(t)$ при нулевых условиях для набора 6

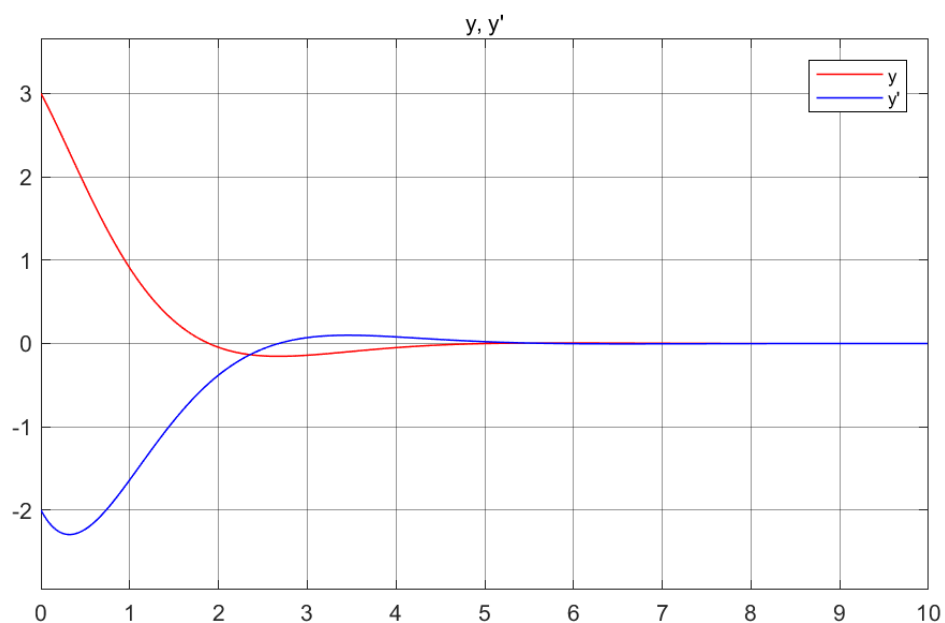


Рисунок 16. График зависимости $y(t)$, $y'(t)$ при ненулевых условиях для набора 6

7. Подберем коэффициенты, корни которых соответствуют паре неустойчивых колебательных мод. Корни уравнения должны соответствовать следующим условиям:

$$\lambda_{1,2} = a \pm \beta i, a > 0$$

Пусть $a_1 = -2$, $a_0 = 2$:

$$\lambda_{1,2} = \frac{2 \pm \sqrt{4 - 8}}{2} = \frac{2 \pm \sqrt{-4}}{2} = \frac{2 \pm 2i}{2} = 1 \pm 1i$$

$$y(t) = C_1 e^t \cdot \sin(t) + C_2 e^t \cdot \cos(t)$$

При нулевых условиях: $0 = 0 + C_2 \Rightarrow C_2 = 0$, пусть $C_1 = 3$

$$y(t) = 3e^t \cdot \sin(t)$$

При ненулевых условиях, пусть $y(0) = 3$

$$y(0) = 1 \cdot e^t \sin(t) + 3 \cdot e^t \cos(t) \Rightarrow 3 = 0 + 3 \Rightarrow C_1 = 1, C_2 = 3$$

$$y'(0) = -2e^t \cdot \sin(t) + 4e^t \cdot \cos(t) = 0 + 4 = 4$$

$$y(t) = e^t \cdot \sin(t) + 3e^t \cdot \cos(t)$$

Схема моделирования аналогична схеме на Рисунок 14, различие только в коэффициентах.

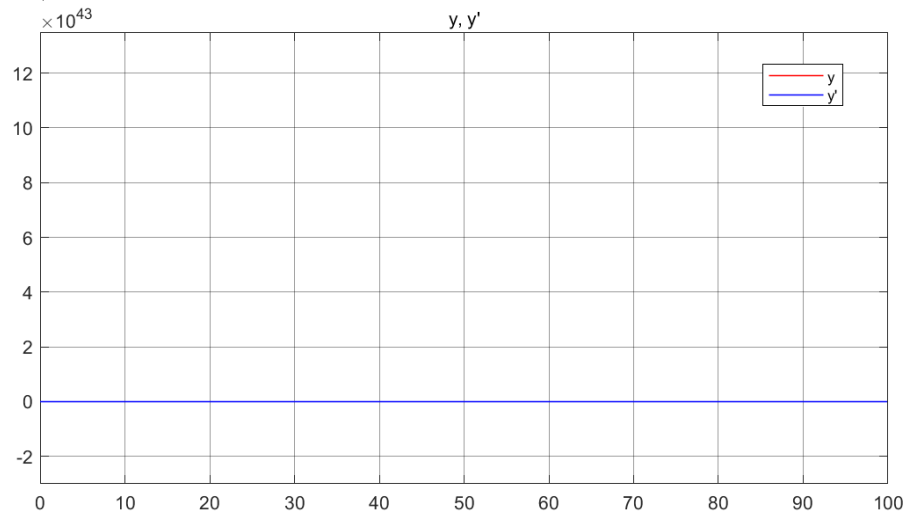


Рисунок 17. График зависимости $y(t)$ $y'(t)$ при нулевых условиях для набора 7

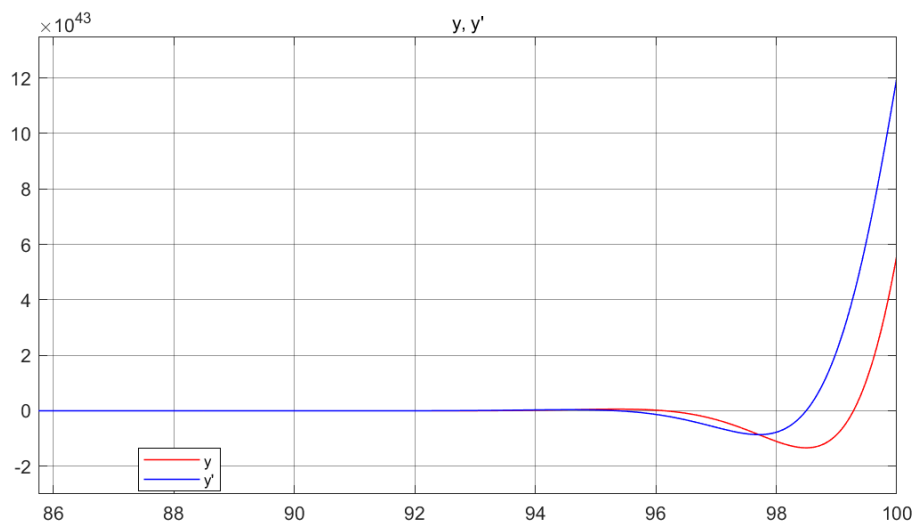


Рисунок 18. График зависимости $y'(t)$, $y(t)$ при ненулевых условиях для набора 7

Вывод: В процессе выполнения задания 1 проделали масштабную работу, а именно подобрали корни характеристического уравнения, соответствующих разным модам, используя корневой критерий устойчивости. Составили схемы моделирования для 7 разных уравнений, построили графики при разных условиях (нулевых и ненулевых). Результаты в более кратком виде приведены в Таблица 1.

№	λ_1	λ_2	a_1	a_0	уравнение
1	-1	-3	4	3	$\lambda^2 + 4\lambda + 3 = 0$
2	-1	5	-4	-5	$\lambda^2 - 4\lambda - 5 = 0$
3	0	-1	1	0	$\lambda^2 + \lambda = 0$
4	0	0	0	0	$\lambda^2 = 0$
5	$2i$	$-2i$	0	4	$\lambda^2 + 4 = 0$
6	$-1 + 1i$	$-1 - 1i$	2	2	$\lambda^2 + 2\lambda + 2 = 0$
7	$1 + 1i$	$1 - 1i$	-2	2	$\lambda^2 - 2\lambda + 2 = 0$

Таблица 1

Задание 2. Фазовые портреты.

Самостоятельно изучите, что такое фазовые портреты системы. Для каждого набора значений корней (λ_1, λ_2) из задания 1 и произвольно выбранных трех наборов ненулевых начальных условий постройте (на одном графике) фазовые портреты (фазовые траектории) $y'(y)$. Сделайте выводы о виде фазового портрета в зависимости от типа устойчивости системы.

Решение

$$\begin{aligned} y'' + a_1 y' + a_0 y &= u. \\ y_{\text{CB}}'' + a_1 y_{\text{CB}} + a_0 y_{\text{CB}} &= 0 \\ x &= y_{\text{CB}} \\ x'' + a_1 x' + a_0 x &= 0 \end{aligned}$$

1.

$$\begin{aligned} x'' + 4x' + 3x &= 0 \\ \begin{cases} x_1' = x_2 \\ x_2' = -4x_2 - 3x_1 \end{cases} \end{aligned}$$

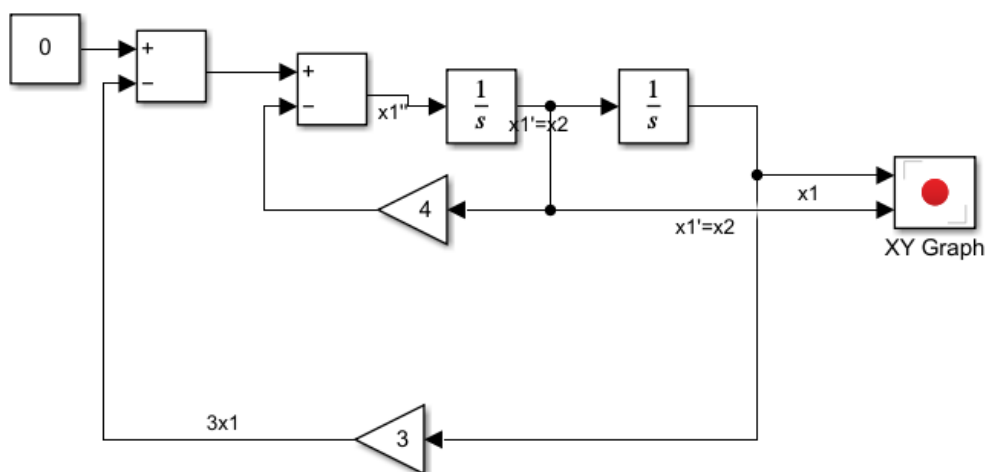
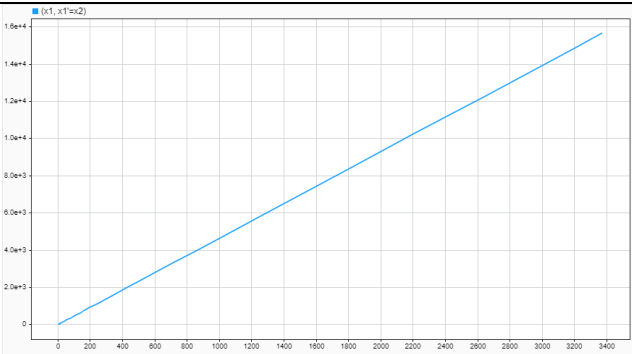
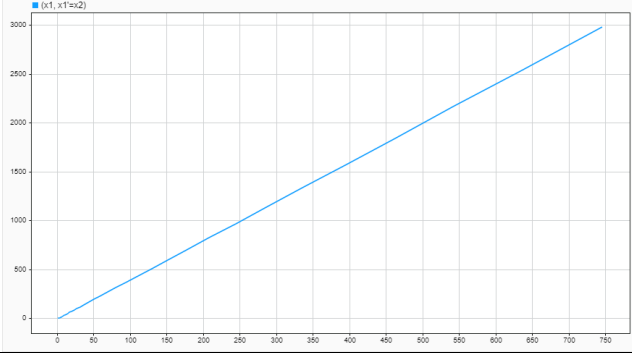
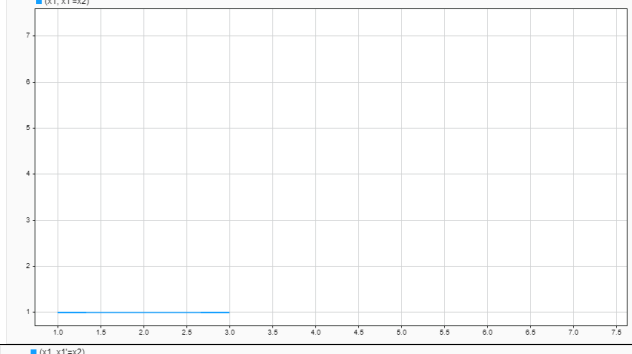
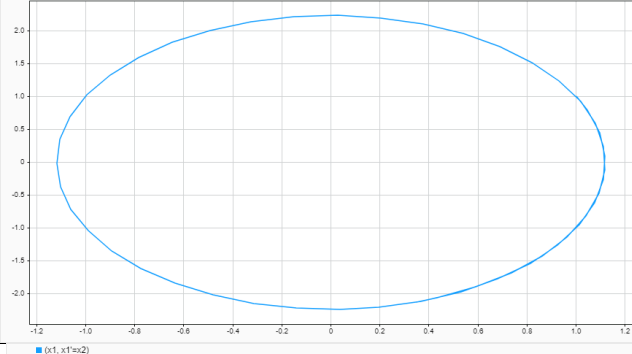
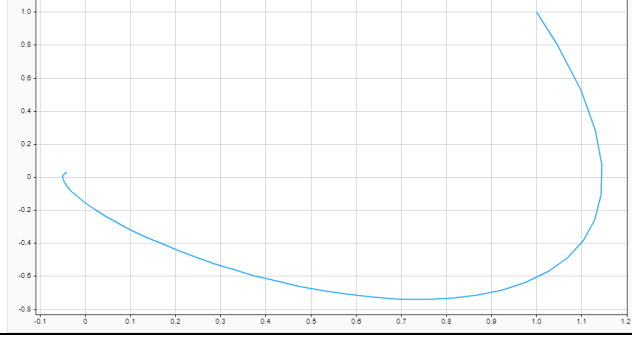


Рисунок 19. Схема моделирования для фазового портрета

Номер набора	Уравнение	Фазовый портрет
1	$\begin{aligned} x'' + 4x' + 3x &= 0 \\ \begin{cases} x_1' = x_2 \\ x_2' = -4x_2 - 3x_1 \end{cases} \end{aligned}$	

2	$x'' - 4x' - 5x = 0$ $\begin{cases} x_1' = x_2 \\ x_2'' = 4x_2' + 5x_1 \end{cases}$	 <p>Phase portrait for problem 2. The trajectory is a straight line in the (x_1, x_1') plane, starting at the origin and extending into the first quadrant. The x-axis ranges from 0 to 3400, and the y-axis ranges from 0 to 1.6e+4.</p>
3	$x'' - 4x' = 0$ $\begin{cases} x_1' = x_2 \\ x_2'' = 4x_2' \end{cases}$	 <p>Phase portrait for problem 3. The trajectory is a straight line in the (x_1, x_1') plane, starting at the origin and extending into the first quadrant. The x-axis ranges from 0 to 150, and the y-axis ranges from 0 to 3000.</p>
4	$x'' = 0$ $\begin{cases} x_1' = x_2 \\ x_2'' = 0 \end{cases}$	 <p>Phase portrait for problem 4. The trajectory is a horizontal line in the (x_1, x_1') plane, indicating constant velocity. The x-axis ranges from 1.0 to 7.5, and the y-axis ranges from 1 to 7.</p>
5	$x'' + 4x = 0$ $\begin{cases} x_1' = x_2 \\ x_2'' = -4x_1 \end{cases}$	 <p>Phase portrait for problem 5. The trajectory is a closed ellipse in the (x_1, x_1') plane, indicating periodic motion. The x-axis ranges from -1.2 to 1.2, and the y-axis ranges from -2.0 to 2.0.</p>
6	$x'' + 2x' + 2x = 0$ $\begin{cases} x_1' = x_2 \\ x_2'' = -2x_2' - 2x_1 \end{cases}$	 <p>Phase portrait for problem 6. The trajectory is a closed curve in the (x_1, x_1') plane, indicating periodic motion. The x-axis ranges from -0.1 to 1.2, and the y-axis ranges from -0.8 to 1.0.</p>

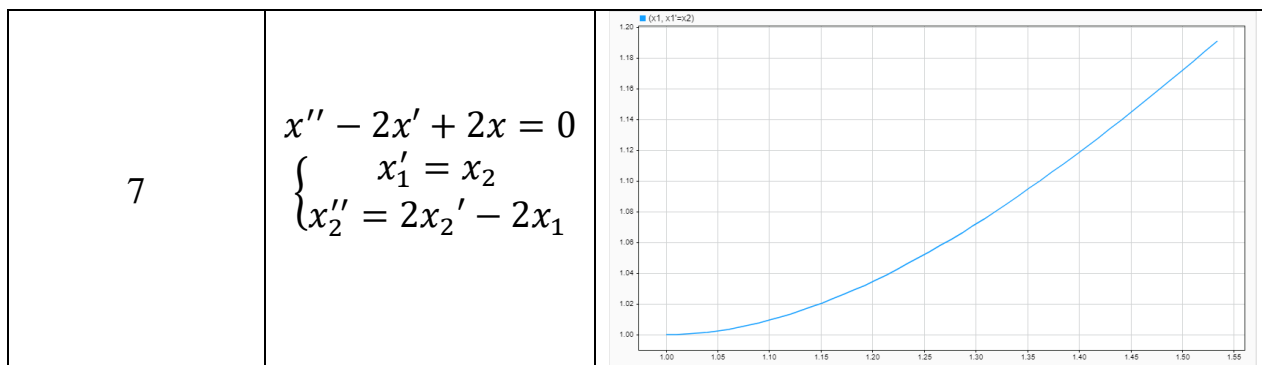


Таблица 2

Вывод: выполняя задание 2, были построены фазовые траектории для 7 разных наборов корней. Тип корней влияет на фазовый портрет, например, в наборе 5 по фазовому портрету можно определить, что корни мнимые, так как получили эллипс.

Используемые источники:

1. Фазовые портреты «на пальцах» или что можно узнать о решениях диффура, не решая его <https://habr.com/ru/post/268507/>
2. https://studme.org/270193/tehnika/fazovye_portrety_tipy_osobyh_tochek

Задание 3. Вынужденное движение.

Выберите три системы из задания 1 с разными типами устойчивости (асимптотически устойчивую, на границе устойчивости и неустойчивую). Для каждого входного воздействия $u(t)$ осуществите моделирование вынужденного движения системы при $t \geq 0$ с начальными условиями $y(0) = -1$; 0 ; 1 и $y'(0) = 0$. Входные сигналы $u(t)$ возьмите в Табл. 1, в соответствии со своим вариантом. В отчёте приведите графики выходных сигналов $y(t)$. Сделайте выводы.

Решение

Тип устойчивости	Уравнение	График
асимптотически устойчивая	$y'' + 4y' + 3y = 1$ $\lambda^2 + 4\lambda + 3 = 0$ $y(t) = C_1 e^{-t} + C_2 e^{-3t}$ $y'(t) = -C_1 e^{-t} - 3C_2 e^{-3t}$ $\begin{cases} C_1 + C_2 = -1 \\ -C_1 - 3C_2 = 0 \end{cases} \Rightarrow$ $C_1 = -1.5, C_2 = 0.5$ $y(t) = -1.5e^{-t} + 0.5e^{-3t}$ $y(t) = C_1 e^{-t} + C_2 e^{-3t}$ $y(0) = 0 = C_1 + C_2 \Rightarrow$ $C_1 = -1, C_2 = 1$ $y(t) = -e^{-t} + e^{-3t}$ $y(t) = C_1 e^{-t} + C_2 e^{-3t}$ $y(0) = 1 = C_1 + C_2 \Rightarrow$ $C_1 = 2, C_2 = -1$ $y(t) = 2e^{-t} - e^{-3t}$	<p>Graph showing the response of the asymptotically stable system $y'' + 4y' + 3y = 1$ for initial conditions $y(0) = -1, 0, 1$ and $y'(0) = 0$. The curves converge to a steady-state value of approximately 0.33.</p>
на границе устойчивости	$y'' + y' = 0.5t$ $\lambda^2 + \lambda = 0$ $y(t) = C_1 + C_2 e^{-t}$ $y(0) = C_1 + C_2 = -1$ $C_1 = 0, C_2 = -1$ $y(t) = -e^{-t}$ $y(0) = C_1 + C_2 = 0$ $C_1 = -1, C_2 = 1$ $y(t) = -1 + e^{-t}$ $y(0) = C_1 + C_2 = 1$ $y(t) = e^{-t}$	<p>Graph showing the response of the system on the stability boundary $y'' + y' = 0.5t$ for initial conditions $y(0) = -1, 0, 1$ and $y'(0) = 0$. The curves diverge from zero, indicating instability.</p>

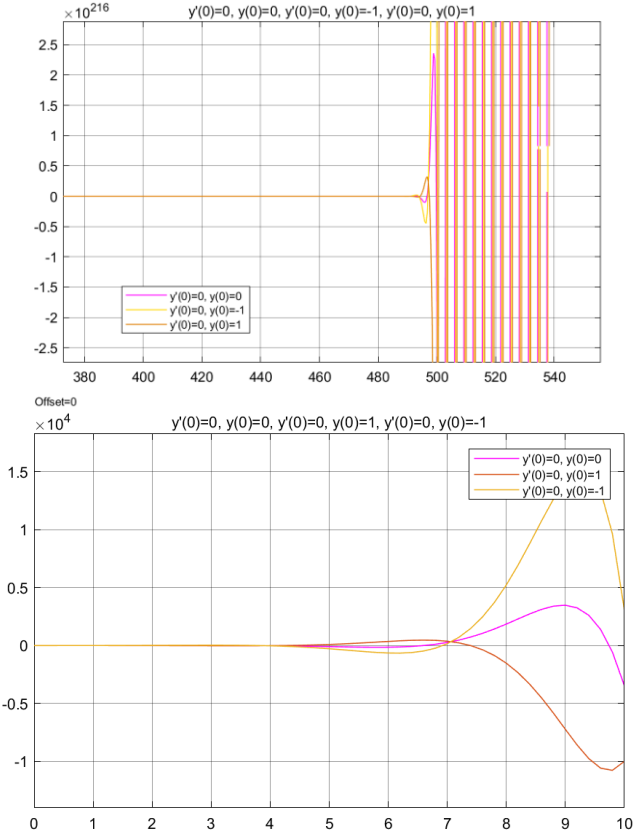
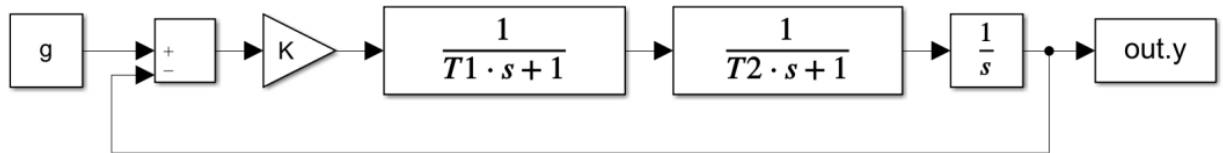
<p>неустойчивая</p>	$y'' - 2y' + 2y = \cos(t)$ $\lambda^2 - 2\lambda + 2 = 0$ $y(t) = C_1 e^t \cdot \sin(t) + C_2 e^t \cos(t)$ $y(0) = 0 + C_2 = -1$ $C_1 = 1, C_2 = -1$ $y(t) = e^t \cdot \sin(t) - e^t \cos(t)$ $y'(0) = 0$ $y(0) = C_1 e^t \cdot \sin(t) + C_2 e^t \cos(t) = 0$ $C_2 = 0, C_1 = 1$ $y(t) = e^t \cdot \sin(t)$ $y(0) = C_1 e^t \cdot \sin(t) + C_2 e^t \cos(t) = 1$ $C_1 = 1, C_2 = 1$ $y(t) = e^t \cdot \sin(t) + e^t \cos(t)$	 <p>The figure consists of two plots. The top plot shows the solutions for an unstable system over a time interval from 380 to 540. The y-axis ranges from -2.5 to 2.5, with a multiplier of $\times 10^{216}$. Three curves are shown: a magenta curve for $y'(0)=0, y(0)=0$, a yellow curve for $y'(0)=0, y(0)=1$, and an orange curve for $y'(0)=0, y(0)=-1$. All curves start at zero and diverge rapidly after $t=500$. The bottom plot shows the same three curves over a time interval from 0 to 10. The y-axis ranges from -1 to 1.5, with a multiplier of $\times 10^4$. The curves diverge from the origin, with the magenta curve reaching a peak of about 0.4 and the orange curve reaching a trough of about -1.0 at $t=10$.</p>
---------------------	---	---

Таблица 3

Вывод: в процессе выполнения задания поработали с разными типами устойчивости, заметим, что в асимптотически устойчивой системе, несмотря на различные начальные условия, функции все равно сходятся в одну линию. Системы на границе устойчивости не сходятся в одну линию, но линии графика параллельны друг к другу. В неустойчивой системе все, наоборот, видим сильные расхождения с увеличением времени.

Задание 4. Область устойчивости.

Соберите схему моделирования линейной системы третьего порядка, установив значение постоянных времени $T1$ и $T2$ таким образом, чтобы полюса соответствующих передаточных функций совпали с первым набором корней (λ_1, λ_2) из задания 1.



Определите аналитически границу устойчивости в пространстве параметров K и $T1$ для системы с фиксированным значением $T2$, опираясь на критерий Гурвица. Приведите графическое изображение границы устойчивости на плоскости двух параметров $K(T1)$ и определите область устойчивости системы. Сделайте выводы. Определите аналитически границу устойчивости в пространстве параметров K и $T2$ для системы с фиксированным значением $T1$, опираясь на критерий Гурвица. Приведите графическое изображение границы устойчивости на плоскости двух параметров $K(T2)$ и определите область устойчивости системы. Сделайте выводы. Возьмите три набора параметров K , $T1$ и $T2$ таких, чтобы первый набор соответствовал устойчивой системе, второй – системе на границе устойчивости, а третий – неустойчивой системе. Выполните моделирование при $g(t) = 1$ и сделайте выводы.

Решение

Сначала построим передаточную функцию системы:

$$W(s) = k \cdot \frac{1}{T1 \cdot s + 1} \cdot \frac{1}{s} \cdot \frac{1}{T2 \cdot s + 1}$$

Находим истинную передаточную функцию системы (\tilde{W}), которая действительно при умножении на вход давала бы нам выход системы:

$$\begin{aligned} (G - Y) \cdot W &= Y \\ Y &= \frac{W}{1 + W} \cdot G \\ \tilde{W} &= \frac{W(s)}{1 + W(s)} = \frac{K}{K + T1 \cdot T2 \cdot s^3 + T1 \cdot s^2 + T2 \cdot s^2 + s} \end{aligned}$$

Вид системы в форме вход-выход:

$$T1 \cdot T2 \cdot y''' + (T1 + T2) \cdot y'' + y' + Ky = Ku$$

При свободном движении:

$$T1 \cdot T2 \cdot y''' + (T1 + T2) \cdot y'' + y' + Ky = 0$$

Составим матрицу Гурвица для оценки устойчивости системы:

$$a_3 \cdot y''' + a_2 \cdot y'' + a_1 y' + a_0 y = 0$$

$$F = \begin{bmatrix} a_2 & a_0 & 0 \\ a_3 & a_1 & 0 \\ 0 & a_2 & a_0 \end{bmatrix} = \begin{bmatrix} (T1 + T2) & K & 0 \\ T1 \cdot T2 & 1 & 0 \\ 0 & (T1 + T2) & K \end{bmatrix}$$

Чтобы система была асимптотически устойчивой, все угловые ведущие миноры должны быть положительными:

$$(T1 + T2) > 0$$

$$\det \begin{bmatrix} (T1 + T2) & K \\ T1 \cdot T2 & 1 \end{bmatrix} > 0$$

$$\det \begin{bmatrix} (T1 + T2) & K & 0 \\ T1 \cdot T2 & 1 & 0 \\ 0 & (T1 + T2) & K \end{bmatrix} > 0$$

Отсюда получим:

$$(T1 + T2) - K \cdot T1 \cdot T2 > 0$$

$$K \cdot T1 \cdot T2 < (T1 + T2)$$

$$T1 = -\frac{1}{\lambda_1} = -\frac{1}{-1} = 1$$

$$T2 = -\frac{1}{\lambda_2} = -\frac{1}{-3} = \frac{1}{3}$$

Пусть $T1=1$, тогда найдем границу и область устойчивости (Рисунок 20. График $K(T2)$), граница выделена пунктиром:

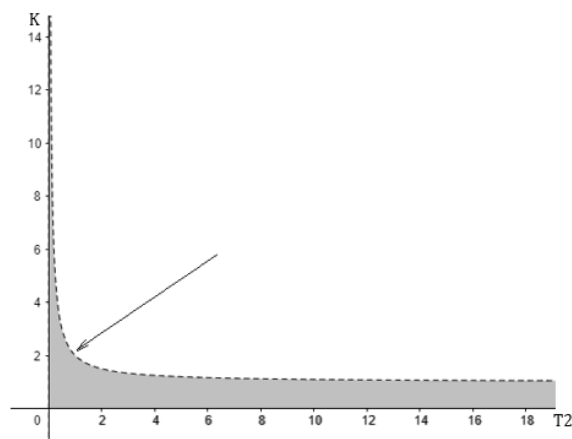


Рисунок 20. График $K(T2)$

Пусть $T_2=\frac{1}{3}$, тогда:

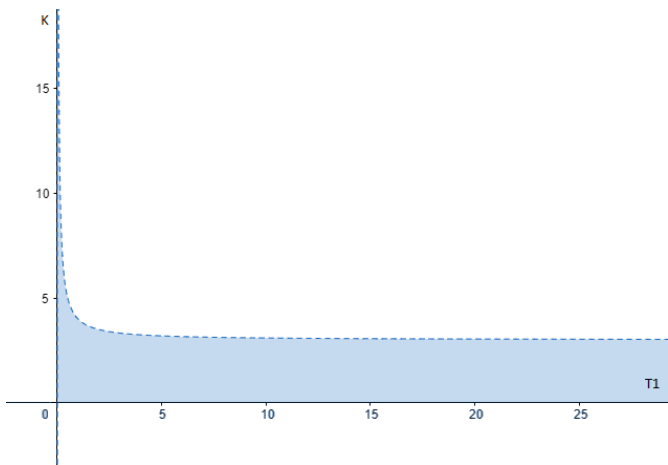


Рисунок 21. График $K(T_1)$

Система	K	T1	T2
устойчивая	1	1	$\frac{2}{9}$
на границе устойчивости	0	0	1
неустойчивая	-2	0	1

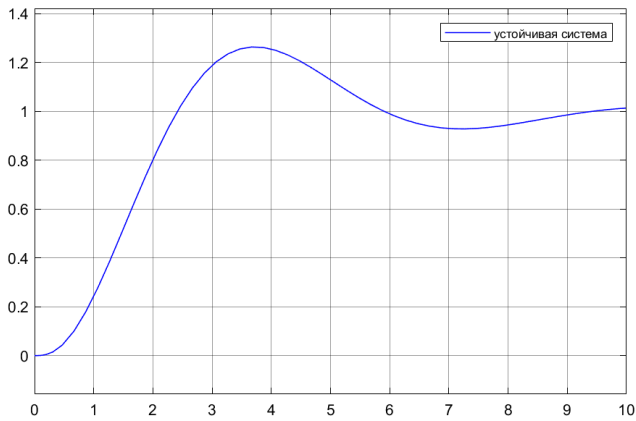


Рисунок 22. Моделирование при $K=1, T1=1, T2=2/9$

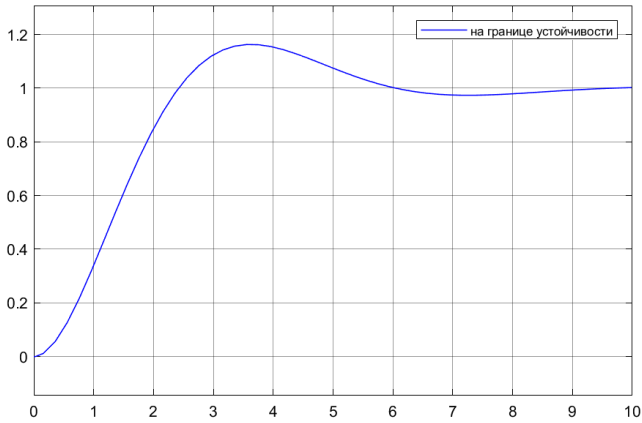


Рисунок 23. Моделирование при $K=0, T1=0, T2=1$

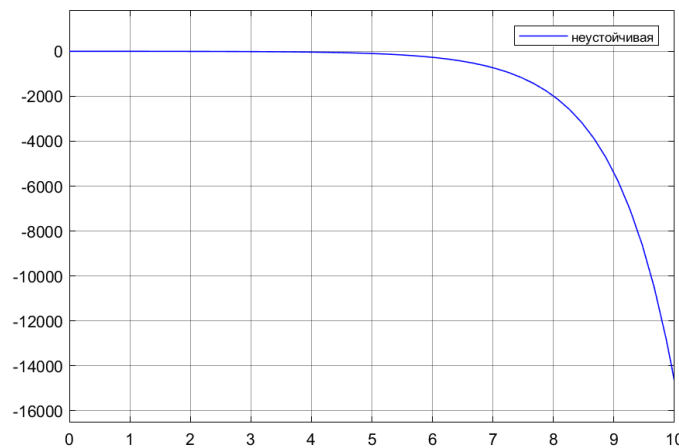


Рисунок 24. Моделирование при $K=-2$, $T1=0$, $T2=1$

Вывод: в задании 4 изучали границы и области устойчивости. Анализируя графики, заметили, что графики устойчивой и на границе устойчивости системы схожи, в отличие от графика моделирования неустойчивой системы.

Задание 5. Вновь свободное движение.

Придумайте такую систему вида:

$$\begin{cases} x' = Ax \\ y = Cx \end{cases}$$

с ненулевыми начальными условиями $x(0)$, чтобы выход системы при свободном движении совпадал с желаемым выходом:

$$y(t) = \cos(6t) + e^{-2t} \cos(3t)$$

В отчёте приведите матрицы A и C полученной системы, схему моделирования и результаты моделирования свободного движения системы с заданными начальными условиями. Выполните сравнение полученного выхода с желаемым. Сделайте выводы.

Решение:

Так как $y(t)$ содержит $e^{-2t} \cos(3t)$, предположим, что корни уравнения были равны:

$$\lambda_1, \lambda_2 = -2 \pm 3i = \frac{-4 \pm 6i}{2} \Rightarrow \frac{-4 \pm \sqrt{-36}}{2} \Rightarrow \lambda_1^2 + 4\lambda_2 + 13$$

Аналогично находит корни $\cos(6t)$: $\lambda_1, \lambda_2 = \pm 6i \Rightarrow \lambda^2 + 36 = 0$

Тогда соберем все вместе:

$$\begin{cases} \lambda_1 = 6i \\ \lambda_2 = -6i \\ \lambda_3 = -2 + 3i \\ \lambda_4 = -2 - 3i \end{cases}$$

$$\begin{aligned} (\lambda^2 + 4\lambda + 13)(\lambda^2 + 36) &= 0 \\ \lambda^3 + 4\lambda^2 + 13\lambda + 36\lambda^2 + 144\lambda + 468 &= 0 \\ \lambda^3 + 40\lambda^2 + 157\lambda + 468 &= 0 \\ y''' + 40y'' + 157y' + 468y &= 0 \end{aligned}$$

Выберем вектор состояния $x(0)$, чтобы он соответствовал $Cx(0)$:

$$C = [0 \quad 1 \quad 1 \quad 0]$$

Составим систему для свободного движения:

$$\begin{cases} y = Ce^{At}x(0) \\ x = e^{At}x(0) \end{cases}$$

Далее составляем матрицу A :

$$\begin{bmatrix} 6i & 0 & 0 & 0 \\ 0 & -6i & 0 & 0 \\ 0 & 0 & -2+3i & 0 \\ 0 & 0 & 0 & -2-3i \end{bmatrix} = \begin{bmatrix} 0 & 6 & 0 & 0 \\ 6 & 0 & 0 & 0 \\ 0 & 0 & -2 & 3 \\ 0 & 0 & 3 & -2 \end{bmatrix}$$

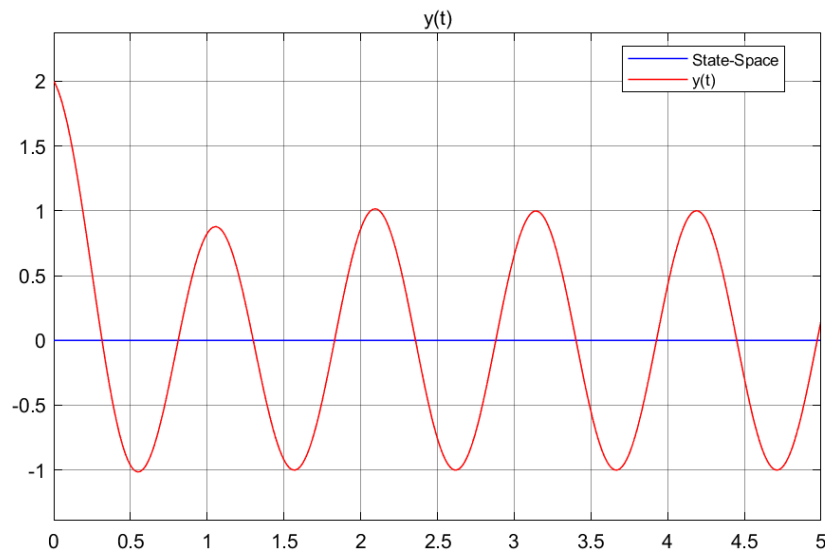


Рисунок 25. Результаты моделирования

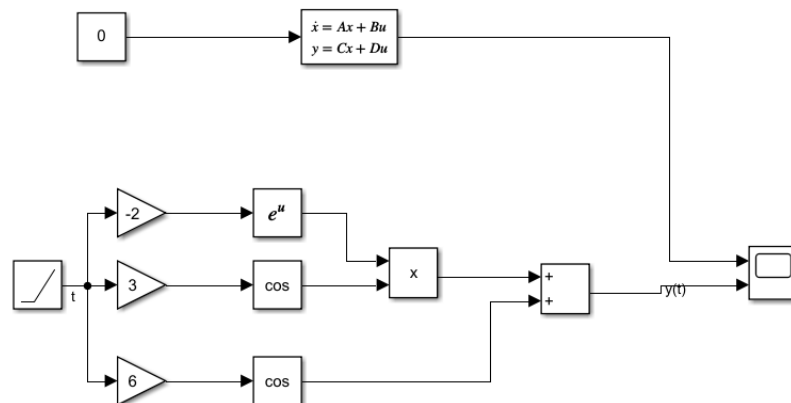


Рисунок 26. Схема моделирования

Вывод: в процессе выполнения задания 5 построили схему моделирования для систем найденной и желаемой. Анализируя, графики, видны сильные различия, несмотря на разные фазы, амплитуда, линии графика похожи.